

平行射影オプティカルフローの解析

Analysis of Optical Flow under Orthographic Projection

群馬大学工学部情報工学科 金谷 健一

Department of Computer Science, Gunma University Ken-ichi Kanatani

1. オプティカルフローのパラメータ推定

図1のように空間に固定した座標系を考え、対象をz軸と平行にxy面上へ射影した像を見ているものとする。いま $z = px + qy + r$ なる平面が剛体運動しているとする。瞬間的には運動はある基準点での並進速度とその点の回りの回転速度とで指定できる。基準点として面とz軸との交点 $(0, 0, r)$ を選び、そこでの並進速度を $(a, b, 0)$ として (z軸方向) の運動は識別できないからz成分を始めから0とする。回転速度を (w_1, w_2, w_3) とする ((w_1, w_2, w_3) 軸回りの角速度 $\sqrt{(w_1)^2 + (w_2)^2 + (w_3)^2}$ (rad/sec) の右ねじ方向の回転)。

以上より、パラメータは面の「グラフィックエニット」 P , 「絶対距離」 r , 「並進速度」 a, b , 「回転速度」 w_1, w_2, w_3 の合計8個である。このとき、xy面上の像の各点は次式で表される「オプティカルフロー」に従って変化することが幾何学的な関係からすぐわかる。

$$u(x, y) = a + pw_2x + (qw_2 - w_3)y, \quad v(x, y) = b - (pw_1 - w_3)x - qw_1y \quad (1)$$

最初に行なうこととは、速度 $u(x, y), v(x, y)$ が与えられていくような特徴点で、

$$u(x_i, y_i) \approx a + Ax_i + By_i, \quad v(x_i, y_i) \approx b + Cx_i + Dy_i \quad (2)$$

なる一次式をあてはめることである。最も単純なのは最小二乗法

$$M = \sum [(a + Ax_i + By_i - u(x_i, y_i))^2 + (b + Cx_i + Dy_i - v(x_i, y_i))^2] \rightarrow \min. \quad (3)$$

であろう。ただし式は速度が与えられていく特徴点に関する総和を表す。これから得られる「正規方程式」を解いて a, b, A, B, C, D が求まるが、これを再び(3)に代入した「残差」は次のようになる。 $(u_i = u(x_i, y_i))$ とおく。

$$M = \sum u_i^2 - (a \sum u_i + A \sum x_i u_i + B \sum y_i u_i) \\ + \sum v_i^2 - (b \sum v_i + C \sum x_i v_i + D \sum y_i v_i) \quad (4)$$

測定誤差がなければ $M = 0$ となるはずである。これから次のことが考えられる。まず近接した数個の特徴点から(3)により推定を行なう。もし(4)の残差が十分小さくなればその領域は平面の像とはみなせない。もし残差が小さければ周囲の特徴点を追加して改めて推定をやり直し、残差を計算する。こうして残差が小さい限り領域の拡張を行なう。こうすれば対象が平面でない場合(多面体や滑らかな曲面)でも平面部分、あるいは平面とみなせる小領域に分割できるであろう。(各小領域の境界をはっきり定める必要はない。4節参照。) したがって、対象が平面の場合を考慮すれば、任意の形状の対象について解析を行なうことができる。

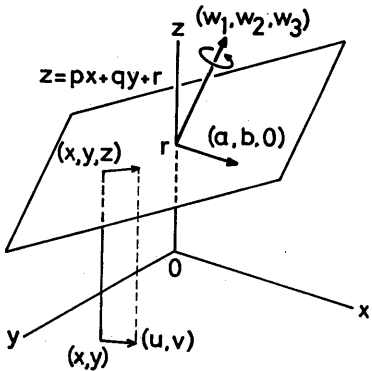


図1. 平行射影ヒオプティカルフロー

2. 座標変換によるパラメータ変換則と流体との類似

観察している画面はxy面であるが、画面上にどのようにスカラ軸をと、でも解釈は本質的に同じでなければならぬ(解釈の「不变性」)。いまxy軸を正の向きにだけ回転して、 (g, h) だけ平行移動した新しいxy'軸とする(図2)。新旧座標の関係は

$$\begin{bmatrix} x' \\ y' \end{bmatrix} = \begin{bmatrix} \cos\theta & \sin\theta \\ -\sin\theta & \cos\theta \end{bmatrix} \left(\begin{bmatrix} x \\ y \end{bmatrix} - \begin{bmatrix} g \\ h \end{bmatrix} \right), \text{ i.e., } \mathbf{r}' = R(\mathbf{r} - \mathbf{g}) \quad (5)$$

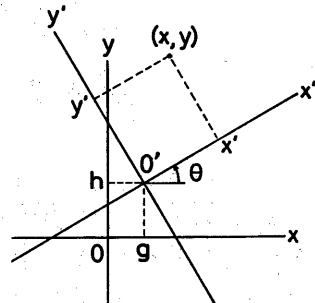


図2. 座標軸の平行移動と回転

である。このとき $a, b, P, g, \omega_1, \omega_2, \omega_3$ の受ける変換は

$$\begin{bmatrix} a' \\ b' \end{bmatrix} = R \begin{bmatrix} a \\ b \end{bmatrix} + R \begin{bmatrix} A & B \\ C & D \end{bmatrix} \begin{bmatrix} g \\ h \end{bmatrix}, \quad \begin{bmatrix} P' \\ g' \end{bmatrix} = R \begin{bmatrix} P \\ g \end{bmatrix}, \quad \begin{bmatrix} \omega'_1 \\ \omega'_2 \end{bmatrix} = R \begin{bmatrix} \omega_1 \\ \omega_2 \end{bmatrix} \quad (6)$$

であり、 $\omega_3' = \omega_3$ (「(絶対) 不变量」)である。 P, g と ω_1, ω_2 は「ベクトル変換則」に従うから、次のように複素数表示できる。

$$P = P + ig \rightarrow P' = e^{i\theta} P, \quad W = \omega_1 + i\omega_2 \rightarrow W' = e^{i\theta} W \quad (7)$$

すなわち、 P, W はともに「ウェイト」-1の「(相対) 不变量」である。

一方、オペティカルフローは次のようないずれを受ける。

$$\begin{cases} u = a + Ax + By \\ v = b + Cx + Dy \end{cases} \rightarrow \begin{cases} u' = a' + A'x + B'y \\ v' = b' + C'x + D'y \end{cases} \quad (8)$$

$$\begin{bmatrix} a' \\ b' \end{bmatrix} = R \begin{bmatrix} a \\ b \end{bmatrix} + R \begin{bmatrix} A & B \\ C & D \end{bmatrix} \begin{bmatrix} g \\ h \end{bmatrix}, \quad \begin{bmatrix} A' & B' \\ C' & D' \end{bmatrix} = R \begin{bmatrix} A & B \\ C & D \end{bmatrix} R^T \quad (9)$$

すなわち、 A, B, C, D は「テニリル変換則」に従う。したがって、Weylの原理により、テニリルの対称性に基いて「既約表現」への簡約ができる。まず、次のように「対称部分」と「反対称部分」とに分解できる。

$$\begin{bmatrix} A & B \\ C & D \end{bmatrix} = \begin{bmatrix} A & \frac{B+C}{2} \\ \frac{B+C}{2} & D \end{bmatrix} + \begin{bmatrix} 0 & -\frac{C-B}{2} \\ \frac{C-B}{2} & 0 \end{bmatrix} \quad (10)$$

反対称部分は回転するフローを表し、 $R = C - B (= \frac{\partial v}{\partial x} - \frac{\partial u}{\partial y})$ が回転量である(図3)。対称部分はさうに「スカラ一部分」と「偏差部分」とに分解できる。

$$\begin{bmatrix} A & \frac{B+C}{2} \\ \frac{B+C}{2} & D \end{bmatrix} = \frac{A+D}{2} \begin{bmatrix} 1 & 0 \\ 0 & 1 \end{bmatrix} + \begin{bmatrix} \frac{A-D}{2} & \frac{B+C}{2} \\ \frac{B+C}{2} & -\frac{A-D}{2} \end{bmatrix} \quad (11)$$

スカラ一部分は発散するフローを表し、 $T = A + D (= \frac{\partial u}{\partial x} + \frac{\partial v}{\partial y})$ が発散量である(図4)。偏差部分はせん断流を表す(図5)。 $S_1 = A - D$, $S_2 = B + C$ とおくと、 $|S| = \sqrt{(S_1)^2 + (S_2)^2}$ がせん断量である。以上より2次元回転群の一次元既約表現が次のように作られる。

$$T' = T, \quad R' = R, \quad (S_1' + iS_2') = e^{2i\theta} (S_1 + iS_2) \quad (12)$$

すなわち、発散量 T と回転量 R はともに(絶対) 不变量であり、 $S = S_1 + iS_2$ はウ

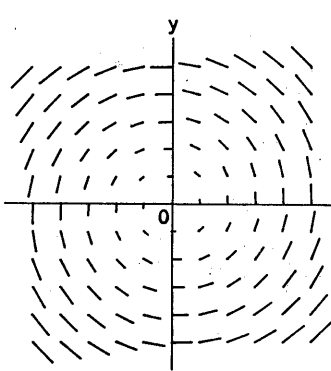


図3. 回転流 $\begin{bmatrix} u \\ v \end{bmatrix} = \begin{bmatrix} 0 & -R \\ R & 0 \end{bmatrix} \begin{bmatrix} x \\ y \end{bmatrix}$

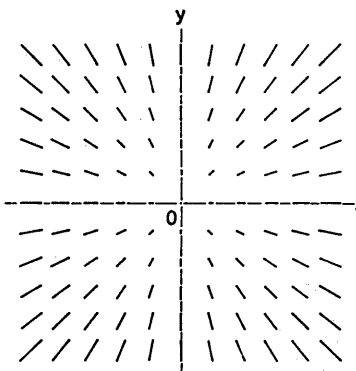


図4. 発散流 $\begin{bmatrix} u \\ v \end{bmatrix} = \begin{bmatrix} T & 0 \\ 0 & T \end{bmatrix} \begin{bmatrix} x \\ y \end{bmatrix}$

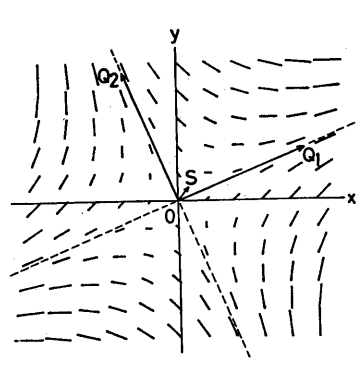


図5. せん断流 $\begin{bmatrix} u \\ v \end{bmatrix} = \begin{bmatrix} S_1 & S_2 \\ S_3 & -S_1 \end{bmatrix} \begin{bmatrix} x \\ y \end{bmatrix}$

エイトー2の(相対)不变量であり、せん断量 $|S|$ は(絶対)不变量である。 S は複素平面上で -2θ だけ回転するから、 S の半分の偏角をもつ量は $-\theta$ だけ回転する(エイトー1)。すなわち「ベクトル」であって、その方向が意味をもつ。

$$Q_1 = e^{\frac{i}{2}\arg S}, \quad Q_2 = e^{\frac{i}{2}(\arg S + \pi)} \quad (13)$$

とおけば、 Q_1, Q_2 はそれぞれ「最大引張り方向」、「最大圧縮方向」を表し、せん断流の「主軸」になつてゐる(図5)。以上のように、回転群の既約表現をつくることは便利としてみれば対称性に関する分解であり、フローとしてみれば(並進を除いた後)回転流、発散流、せん断流への分解にはかなうない。

3. フロー-パラメータによる平面の位置と運動の決定

最小二乗法等によつて a, b, A, B, C, D を推定したとすれば、 a, b は既に決定したから、残りは次の問題となる。

[問題] A, B, C, D を与えて $p, q, \omega_1, \omega_2, \omega_3$ を求める。たゞし

$$A = p\omega_2, \quad B = q\omega_2 - \omega_3, \quad C = -p\omega_1 + \omega_3, \quad D = -q\omega_1 \quad (14)$$

不变量 $T = A + D, R = C - B, S = (A - D) + i(B + C)$ と複素表示、 $P = p + iq, W = \omega_1 + i\omega_2$ を用ひると上の方程式は次と同値である。(＊は複素共役を表す。)

$$PW^* = 2\omega_3 - (R + iT), \quad PW = iS \quad (15)$$

これは両辺のエイトーが等しくなければならぬことから導かれる。両式の左辺同士は絶対値が等しい。ゆえに右辺同士も絶対値が等しく、これから ω_3 が

$$|2\omega_3 - (R + iT)|^2 = |iS|^2 \rightarrow \omega_3 = \frac{1}{2}(R \pm \sqrt{|S|^2 - T^2}) \quad (16)$$

と求ます。解はふたつあり、ひとつは真の解 ω_3 である、他は「にせの解」 $\omega_3 - p\omega_1 - q\omega_2$ である。ここで次のことに注意しよう。

[補題] 発散量の絶対値はせん断量より大きくなつて: $|T| \leq |S|$

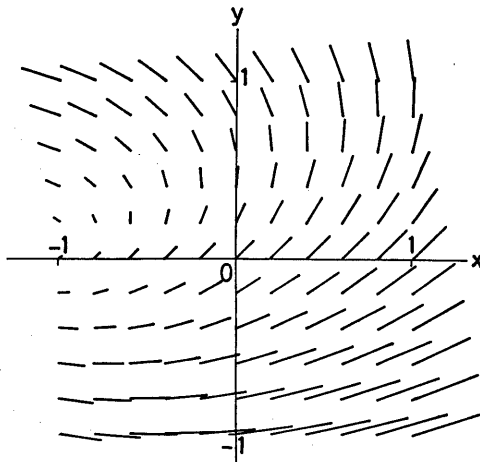


図6. 平行射影によるオペカルフロー。

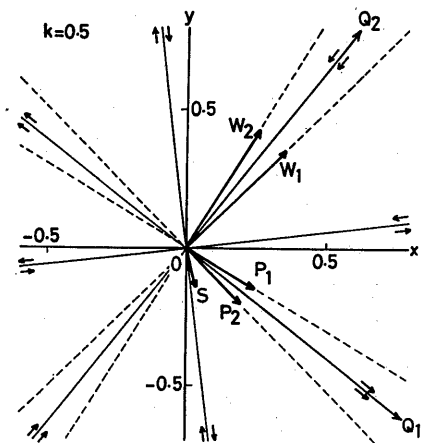


図7. 図6のフローの解析結果。

もしこれが満たされていなければ、像は平面運動の平行射影による像とはみなせない。さて(15)から気づくことは、もし \bar{P} , W が解なら kP , W/k も解である。ただし k は任意の0でない実数である。(16)のそれぞれの ω_3 に対して、解は次のように表せる。 k は不定の「形状因子」である。

$$[定理] W = ke^{i[\frac{\pi}{4} + \frac{1}{2}\arg S - \frac{1}{2}\arg(2\omega_3 - (R+iT))]}, \bar{P} = \frac{S}{k} e^{i[\frac{\pi}{4} - \frac{1}{2}\arg S + \frac{1}{2}\arg(2\omega_3 - (R+iT))]} \quad (18)$$

[系] \bar{P} と W とは最大せん断方向に関して対称である。

[系] 真の \bar{P} とせの P とはせん断主軸に関して対称である。また、真の W とせの W もせん断主軸に関して対称である。

[例] 図6のフローから次のようにパラメータが推定されたとする。

$$a=0.1, b=0.1, A=0.0873, B=-0.2269, C=0.0873, D=0.0524$$

不変量は次のようになり、 $|T| < |S|$ が満たされている。

$$T = 0.1397, \quad R = 0.3142, \quad S = 0.0349 - 0.1396i$$

(16)より $\omega_3 = 10.8$ (deg/sec)を得る。それぞれ(12)式と(18)より次の解を得る。

$$W_1 = (0.7061 + 0.7081i)k \text{ (rad/sec)}, \quad \bar{P}_1 = (0.1233 - 0.1484i)/k$$

$$W_2 = (0.5157 + 0.8568i)k \text{ (rad/sec)}, \quad \bar{P}_2 = (0.1019 - 0.1016i)/k$$

図7に $k=0.5$ の場合を図示する。上記の命題の成立していることがわかる。

4. 隣接するフローの境界線の決定

全体が单一の平面部分とはみなせない場合を考える。ある部分でのフローが、

$$u = a + Ax + By, \quad v = b + Cx + Dy \quad (19)$$

である、他の部分では

$$u = a' + A'x + B'y, \quad v = b' + C'x + D'y \quad (20)$$

である、たとする。両者の平面部分が3次元的には隣接しているとする、境界線（見えら必要はない）上ではフローは連続になるはずである、次式が成立する。

$$[A]x + [B]y + [a] = 0, \quad [C]x + [D]y + [b] = 0 \quad (21)$$

ただし $[]$ は差（例えば $[A] = A' - A$ ）を表す。両式とも同一の境界線の方程式を表していいなければならないが、その必要十分条件は次式である。

$$[\text{補題}] \quad [a]:[b] = [A]:[C] = [B]:[D] \quad (22)$$

これが成立している時に限り、フローは隣接しており、境界線の方程式は (21) で与えられる。したがって境界線が画像上で検出されていなくても機械的に算出できる。

各々のフローに前節の解析をほどこすと、もしこの面が一体とな、て剛体運動にしていふとすれば w_1, w_2, w_3 は共通のはずである。したがって、にせの解を捨てて、真の解のみを選ぶことができる。また W が等しいとかく形状因子 k の値は同一でなければならぬ。

一方、平面 $z = px + gy + r$ と $z = p'x + g'y + r'$ との交線は画像上で $[p]x + [g]y + [r] = 0$ であるから、次の関係を得る。

[補題] $[P]$ は常に交線に垂直である。交線の方程式が画像上で $y = mx + n$ であれば、面の方程式は次の関係にある。

$$y = px + gy + r, \quad y = p'x + g'y + (r - [g]n) \quad (23)$$

以上の操作を次々と他の隣接する面に及ぼしてゆけば次の結果を得る。

[定理] 対象の構造と運動は絶対距離と形状因子を除いて一意に定まる。

[例] 図8は單一のフローとみなせず、右上部、左下部でそれぞれ

$$a = -0.1, \quad b = 0.2, \quad A = 0.2094, \quad B = -0.1047, \quad C = 0.0698, \quad D = -0.0349$$

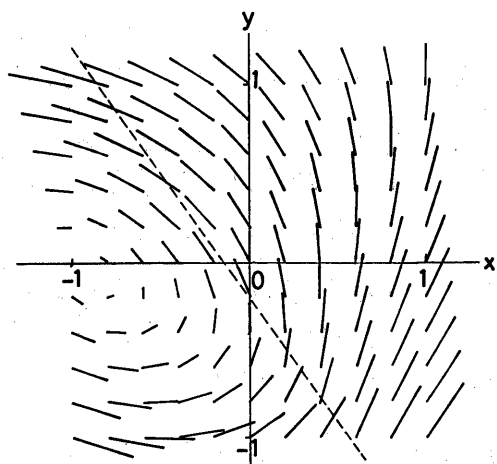


図8. 隣接するオペティカル-フローの例。

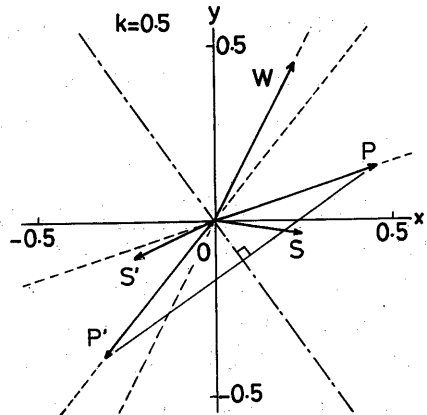


図9. 図8のフローの解析結果。

$$a' = -0.1489, \quad b' = 0.2244 \\ A' = -0.1396, B' = -0.3490, C' = 0.2443, D' = 0.0873$$

であったとする。(22)は満たしていいる。(21)より、交線の方程式は次式で与えられる。

$$y = -1.4286x - 0.2$$

(16)より右上で $\omega_3 = 10, 0$ (deg/sec), 左下で $\omega_3 = 24, 10$ (deg/sec) となるから、真の解は

$$W = (0.4472 + 0.8944i)k \text{ (rad/sec)}, \quad \omega_3 = 10 \text{ (deg/sec)}$$

$$P = (0.2341 + 0.0780i)/k, \quad P' = (-0.1561 - 0.1951i)/k$$

である(図9)。[P]は交線に垂直である。(23)より、面の方程式はそれぞれ次のようになる。

$$z = (0.2341x + 0.0780y)/k + r$$

$$z = (-0.1561x - 0.1951y)/k + (r - 0.0546/k)$$

6. 3点の速度からのフローの決定

画面上の3点 $(x_1, y_1), (x_2, y_2), (x_3, y_3)$ で速度が $(u_1, v_1), (u_2, v_2), (u_3, v_3)$ と与えられていれば、その3点の張る面のフロー $U = a + Ax + By, V = b + Cx + Dy$ が定まる。a, b, A, B, C, D は

$$\begin{bmatrix} 1 & x_1 & y_1 \\ 1 & x_2 & y_2 \\ 1 & x_3 & y_3 \end{bmatrix} \begin{bmatrix} a \\ b \\ A \\ C \end{bmatrix} = \begin{bmatrix} u_1 \\ u_2 \\ u_3 \end{bmatrix}, \quad \begin{bmatrix} 1 & x_1 & y_1 \\ 1 & x_2 & y_2 \\ 1 & x_3 & y_3 \end{bmatrix} \begin{bmatrix} v_1 \\ v_2 \\ D \end{bmatrix} = \begin{bmatrix} v_1 \\ v_2 \\ v_3 \end{bmatrix} \quad (24)$$

から定まる。行列式が0となるのは3点が共線のときであるから、同一直線上になつて3点で速度が与えられればフローは一意的に定まり、以下、解析ができる。

[例] 画面上の3点 $R_1 = (0.6, 0.2), R_2 = (-0.2, -0.4), R_3 = (-0.4, 0.8)$ でそれぞれ速度

$$u_1 = (-0.0416, 0.1052), \quad u_2 = (-0.0975, 0.1767), \quad u_3 = (0.0770, 0.1593)$$

が観測されたとする(図10)。(24)より、フローのパラメータは次のようになる。

$$a = -0.0486, \quad b = 0.1523, \quad A = -0.0349, \quad B = 0.1396, \quad C = -0.0698, \quad D = -0.0262$$

図11は仮想的なフローを示したものである。これより次の二通りの解を得る。

$$\omega_3 = -5 \text{ (deg/sec)}, \quad W = (0.4477 + 0.8942i)k \text{ (rad/sec)}, \quad P = (-0.0390 + 0.0585i)/k$$

$$\omega_3 = -7 \text{ (deg/sec)}, \quad W = (0.8319 + 0.5549i)k \text{ (rad/sec)}, \quad P = (-0.0629 + 0.0315i)/k$$

面の方程式に (x_i, y_i) を代入することにより、3点の座標が次のように定まる。

$$z_1 = \begin{cases} -0.0117/k + r \\ -0.0314/k + r \end{cases}, \quad z_2 = \begin{cases} -0.0156/k + r \\ r \end{cases}, \quad z_3 = \begin{cases} 0.0624/k + r \\ 0.0504/k + r \end{cases}$$

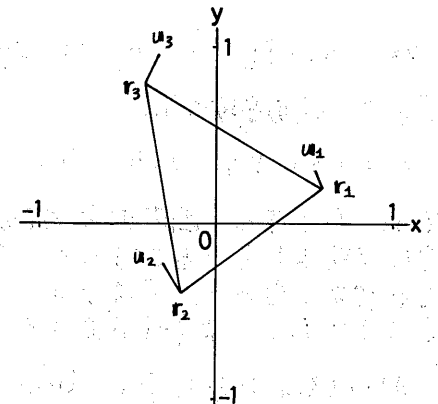


図10. 3点で速度が測定された場合。

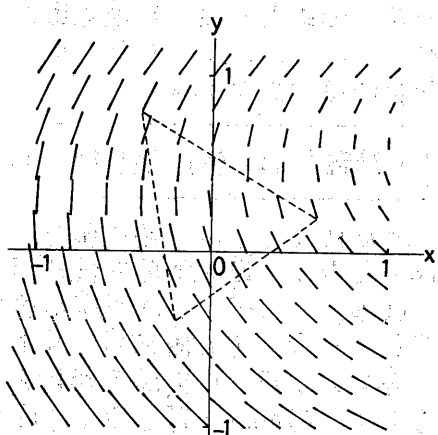


図11. 図10の運動の定義するフロー。